

山梨大学 正員 砂田慶吾  
 東京工業大学 正員 吉川秀夫  
 東京工業大学 学生員 グエン・ソン・フン

### 1. はじめに

流出 hydrograph の遮減部分では流域固有の特性が集約されると考えられることから、従来より数多くの研究の対象あるいは手段とか、てきこぶり、遮減曲線自身についても提案される度散形の数は少くない。最近、竹内ら<sup>1)</sup>は各洪水流出曲線の標準遮減曲線への乗り合い点に注目して流出特性を検討しており、四俵<sup>2)</sup>は遮減率スペクトルを用いて遮減曲線の解説を行っている。本報ではこれらの概念を拡張し、総合化して遮減部の情報を可能な限り利用して洪水・低水に共通した流出のモデル化を行うことを試みたものである。

### 2. 流出成分々離モデル

遮減部は複数の指數関数の和で与えられるとし、図-1のような多段多列のタンク系を置き、いま三段の場合を考える。これらの各系は互に独立で線型であるが、その種の系で表現し得ない流出成分を仮に表面流出と呼び別に非線型な取扱いとする。図中  $Q_s$  を除いた  $Q_g$  は個々の系は線型であるが全体として見ると非線型な系になる。図-2 はこのモデルからの流出の模式的な例であり、 $t_{ri}$  は後に検討する。

三段直列タンク系 図-1 では個々のタンク系で遮減率を  $\lambda_i < \lambda_{oi}$ 、別の系との間で  $\lambda_i < \lambda_{oi+1}$  と仮定している。いま  $i$  列の系を取り出し、継続時間が  $t_{ri}$  の一定強度降雨  $R_{ti}$  に対するこの系からの流出は、 $t \geq t_{ri}$  で次のようになる。

$$\begin{aligned} Q_{gi}(t) &= \frac{\lambda_{oi} \lambda_i^2}{(\lambda_{oi} - \lambda_i)^2} \left[ \frac{(e^{\lambda_i t_{ri}} - 1)}{\lambda_i} e^{-\lambda_i t} - \frac{(\lambda_{oi} - \lambda_i)(e^{\lambda_i t_{ri}} - 1)}{\lambda_{oi}} t e^{-\lambda_i t} \right. \\ &\quad \left. + \frac{1}{\lambda_{oi}^2} \left\{ \lambda_{oi} (\lambda_{oi} - \lambda_i) t_{ri} e^{\lambda_i t_{ri}} - (e^{\lambda_i t_{ri}} - 1)(2\lambda_{oi} - \lambda_i) \right\} e^{-\lambda_i t} \right] \\ &= K [A e^{-\lambda_i t} + B t e^{-\lambda_i t} + C e^{-\lambda_{oi} t}] \end{aligned} \quad (1)$$

式(1)は、 $\lambda_i$ 、 $\lambda_{oi}$  の仮定のもとで  $\lim_{t \rightarrow \infty} Q_{gi}(t) = K A e^{-\lambda_i t}$  となる。すなわち、時間経過が十分な流出量曲線は次式で近似される。

$$Q_{gi}(t) = \frac{\lambda_{oi} \lambda_i^2}{(\lambda_{oi} - \lambda_i)^2} (e^{\lambda_i t_{ri}} - 1) e^{-\lambda_i t} \quad (2)$$

### 3. パラメタの決定

a) 標準遮減曲線 流量遮減部で長時間にわたり無降雨かほとんど無視できるような洪水記録を多数選び、標準遮減曲線を求める<sup>3)</sup>。その曲線の片対数紙上での傾きを最下段タンクの遮減率  $\lambda_i$  とする。

b) 成分流出総量 個々の洪水記録に対して、その hydrograph が標準遮減曲線に乗り合う点  $P_i$  を求めめる。図-3 の面積  $S_i$  は i タンク系を経由して流出する成分の総量の近似値を示す。

c) 降雨継続時間と成分入力降雨強度 前項の結果から  $S_i$  と

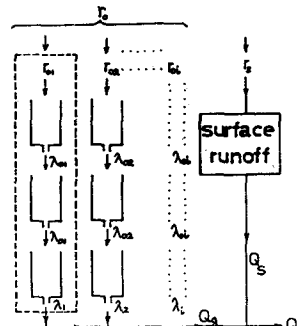


図-1. 成分々離モデル(多段多列)

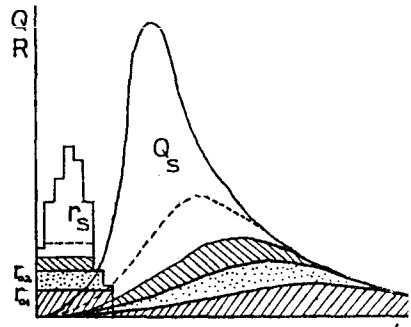


図-2. モデルからの流出

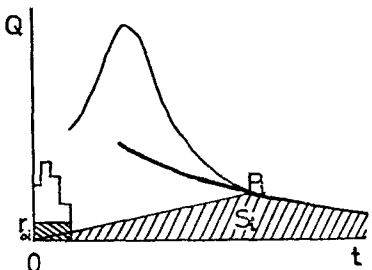


図-3. 成分流出総量の計算

$r_{oi}$  との関係を図-4 のように plot する。この結果がある曲線に座ればその曲線のこう配が考慮中のタンク系への入力としてこの降雨強度を示す。その曲線がほぼ直線となれば  $r_{oi}$  は一定である。多列タンク系の場合各系について  $r_{oi}$  が求めれば、 $r_{oi}$  は成分入力強度スペクトル（密度ではない）とでも云うべきものとなり、流出特性を端的に表現し得る可能性をもつものである。

a) 上段タンク遮蔽率 前項までに得られたパラメタ  $\lambda_i, r_{oi}, (\chi_i)$  を用いて、個々の流出元- $\tau$  遮蔽部式(1)が best fit するよう  $\lambda_{oi}$  を決める。これらの平均値を上段タンクの遮蔽率  $\lambda_{oi}$  とする。

b) 高次の標準遮蔽曲線 上の結果を用い、降雨から  $r_{oi}$  を、流量 hydrograph からは式(1)および  $\lambda_{oi}$  に対応する同様な式を差し引く。新たに得られる各洪水の hydrograph の遮蔽部を用いて、より高次の標準遮蔽曲線を求め、a)～c)までの操作を繰返す。

#### 4. 表面流出について

ある列までの線型タンク系の合成を表現しきれなかつて云わば残余の流出成分  $Q_s$  は表面流及び表面附近の水平方向移動の卓越した流出成分と考えられる。ここではその非線型性の程度の検討を含め貯留閏数法に準じたモデルを適用する。そのパラメタの決定は、先に<sup>4)</sup>有効性が調べられている感度解析により自動的に行える。

#### 5. 寒河川流域への適用

流域規模に差のある2つの寒河川（神流川: 373 km<sup>2</sup>, 梓川: 0.44 km<sup>2</sup>）データを用いた。この適用では2列までのタンク系の分離に留まつたが、図-4に対応するグラフは両流域・タンク系ともほぼ直線に沿ってバラツキ、 $r_{oi} = \text{const}$  (0.1~2.0 mm) が得られた。図-5, 6 は神流川の場合でのそれされ、成分々離を行わない場合、2列まで分離した場合の S~Q 関係である。図-6 は従来の経験的な成分々離に近い1列までのものよりもさらに S~Q 関係の1価性、線型性の度が向上していることも知れた。多数のタンク系がさらに線型性を保証するとは限らないが、2列までの分離で残余の流出成分が大幅に扱い易いものになったと見える。図-7 は流出計算結果(神流川)の一例である。

#### 6.まとめ

モデルの全てのパラメタは試算を経ることなく遮蔽特性と感度解析から一義的に定め得るのが本方法の特長である。分離の残余としての表面流出成分は非線型性が弱まり解析は容易となるが、さらに幾つかの流域でも検討してみる必要があると考えている。

#### 参考文献

- 1) 四俵：洪水流量遮蔽曲線の解説、土木学会論文報告集、No.245 (1976).
- 2) 江川・竹内：遮蔽曲線形状の特性、第31回年講 (1976).
- 3) 砂田・吉川・渡辺：流量遮蔽部の特性について、第32回年講 (1977).
- 4) 吉川・砂田・鈴木：流量遮蔽部の特性を考慮した流出モデル、第22回年講 (1978).

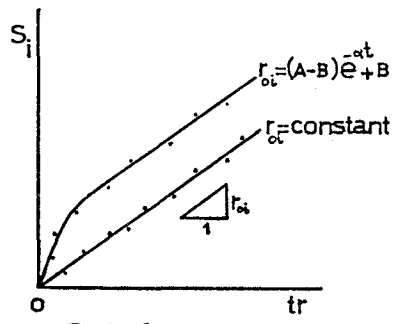


図-4.  $S_i$  と  $r_{oi}$  との関係

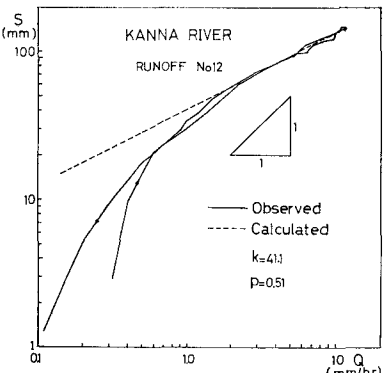


図-5. 分離しない場合の  $S_s$  ~  $Q_s$  曲線

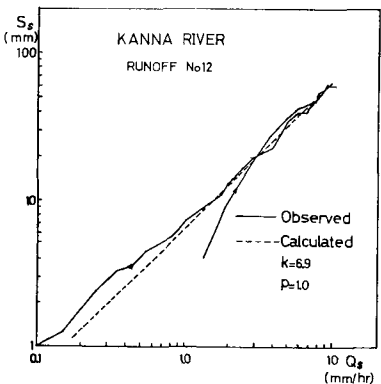


図-6. 2列まで分離した場合の  $S_s$  ~  $Q_s$  曲線

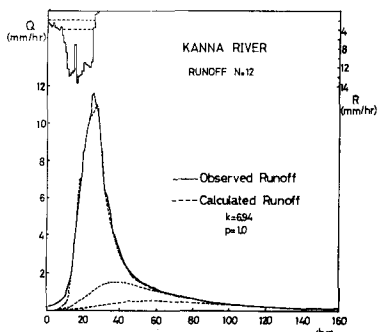


図-7 流出計算例(神流川)